



# 中国耳鼻咽喉头颈外科

ZHONGGUO ER BI YANHOU TOUJING WAIKE  
*CHINESE ARCHIVES OF  
OTOLARYNGOLOGY-HEAD AND NECK SURGERY*

2017年6月 第24卷  
June 2017, Vol.24, No.6

## 论著

成人喉部横纹肌肉瘤临床分析 杨征等

CO<sub>2</sub>激光在喉部手术后并发声带粘连的相关因素分析及预防 董飞林等

鼓室内注入类固醇激素治疗伴糖尿病的突发性聋Meta分析 刘文, 黄晓蕊

B细胞淋巴瘤-2蛋白在年龄相关性聋小鼠耳蜗中的表达 黄秋红等

SerpinB2和SerpinB4基因在过敏性鼻炎患者鼻刷细胞的表达 王敏等

改良鼻窦CT嗅区评分对慢性鼻-鼻窦炎鼻息肉嗅觉评估及预后判断的价值 王明婕等

第 6 期

ISSN 1672-7002



扫描  
官方微信  
二维码

万方数据

中华人民共和国国家卫生和计划生育委员会主管  
中国医疗保健国际交流促进会 北京市耳鼻咽喉科研究所主办

# 目 次

第24卷, 第6期, 2017年6月28日出版

## 论 著

### 275 成人喉部横纹肌肉瘤临床分析

杨征, 房居高, 钟琦, 陈学军, 黄志刚

### 279 带蒂鼻中隔黏膜瓣在侵及前颅底鼻腔鼻窦恶性肿瘤切除术

颅底重建中的应用

宋朝, 郭涛, 汪银凤, 孙敬武

### 283 CO<sub>2</sub>激光在喉部手术后并发声带粘连的相关因素分析及预防

董飞林, 苏立众, 郑怡

### 287 联合抑制低氧诱导因子1α与信号转导和转录活化因子3

对人喉鳞状细胞癌裸鼠移植瘤放疗的影响

路秀英, 李晓明, 李震, 王静妍, 崔兰珍, 黄则雷, 白静

### 291 鼓室内注入类固醇激素治疗伴糖尿病的突发性聋Meta分析

刘文, 黄晓蕊

### 296 不同月龄BALB/c小鼠耳蜗miR-96表达与ABR阈值及耳蜗形态的关系

王耀文, 程鹏, 包卫亮, 陈星, 李吉, 李春林, 孔德秋, 唐世雄

### 301 基因芯片联合焦磷酸测序技术应用于新生儿遗传性聋基因突变位点筛查

李凡玲, 田虎, 周明, 赵艾君, 王为, 印爱军, 杜伟强, 袁群芳, 李志伟, 彭炜

### 305 B细胞淋巴瘤-2蛋白在年龄相关性聋小鼠耳蜗中的表达

黄秋红, 黄子真, 叶咏怡, 郑亿庆

### 309 难治性鼻出血患者出血部位各年龄段间的差异与特点

范森, 付勇

### 312 SerpinB2和SerpinB4基因在过敏性鼻炎患者鼻刷细胞的表达

王敏, 余文煜, 杨军, 王向东, 张旭, 张罗

### 316 改良鼻窦CT嗅区评分对慢性鼻-鼻窦炎鼻息肉嗅觉评估及预后判断的价值

王明婕, 周兵, 崔顺九, 李云川, 孙炎

### 320 变应性鼻炎嗅觉障碍大鼠嗅感受神经元的实验研究

邵莉莉, 孙宝宾, 陶锋, 臧凤超, 蔡文君

281

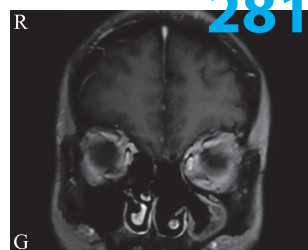


图3 鼻腔鼻窦腺样囊腺癌累及前颅底行带蒂鼻中隔黏膜瓣前颅底修补。G 术后3年复查头颅MRI, 未见鼻腔鼻窦及颅底肿瘤复发

298



图2 不同月龄BALB/c小鼠耳蜗毛细胞荧光染色观察。B 6月龄小鼠耳蜗外毛细胞可见橙黄色荧光的凋亡细胞, 内毛细胞结构清楚为正常, 显绿色荧光, 荧光染色×200

# 目 次

第24卷, 第6期, 2017年6月28日出版

## 临床经验

- 325 首诊于耳鼻咽喉科的特发性纵隔气肿临床分析  
宋伟海, 王年根

298



图3 不同月龄BALB/c小鼠耳蜗毛细胞扫描电镜图。A 3月龄BALB/c小鼠耳蜗毛细胞排列整齐, 静纤毛无散乱、倒伏及断裂等现象, 扫描电镜 $\times 4000$

## 学术动态

- 327 第14届听力眩晕疾病诊疗技术研讨班会议纪要  
毕竞韬, 张祎

## 消 息

- 304 《中国耳鼻咽喉头颈外科》、《国际耳鼻咽喉头颈外科杂志》网络远程投稿  
审稿系统使用说明
- 315 2017年本刊直接使用缩略语的医学词汇
- 326 北京大学人民医院第二十四期鼻窦内窥镜微创外科学习班通知

307

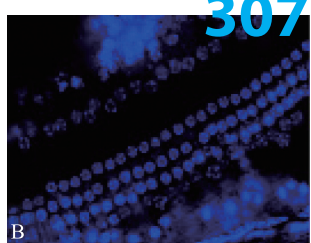


图1 两组C57BL/6小鼠耳蜗基底膜铺片及耳蜗螺旋神经节染色。“年轻”组小鼠耳蜗, 底转(B)一排内毛细胞和三排外毛细胞形态, 荧光显微镜 $\times 400$

# Contents

Volume 24, Number 6, June 28, 2017

---

---

## Original Articles

- 275 Clinical analysis of adult rhabdomyosarcoma of the larynx**  
YANG Zheng, FANG Jugao, ZHONG Qi, CHEN Xuejun, HUANG Zhigang
- 279 Pedicled nasoseptal flap for anterior skull base reconstruction after endoscopic resection of sinonasal malignancies involving the skull base**  
SONG Chao, GUO Tao, WANG Yinfeng, SUN Jingwu
- 283 Analysis of related factors in vocal cord adhesion after CO<sub>2</sub> laser laryngeal surgery and prevention**  
DONG Feilin, SU Lizhong, ZHENG Yi
- 287 Effect of inhibiting of HIF-1 $\alpha$  and STAT3 combined with irradiation on laryngeal squamous carcinoma cells of xenograft mice**  
LU Xiuying, LI Xiaoming, LI Zhen, WANG Jingyan, CUI Lanzhen, HUANG Zelei, BAI Jing
- 291 Intratympanic steroid injection treatment of sudden hearing loss with diabetes: a Meta-analysis**  
LIU Wen, HUANG Xiaoque
- 296 Relationship between the miR-96 expression in the cochlea and ABR threshold and cochlear morphology of BALB/c mice**  
WANG Yaowen, CHENG Peng, BAO Weiliang, CHEN Xing, LI Ji, LI Chunlin, KONG Deqiu, TANG Shixiong
- 301 Application of gene chip joint pyrosequencing technology in the newborn genetic deafness gene mutation screening**  
LI Fanling, TIAN Hu, ZHOU Ming, ZHAO Aijun, WANG Wei, YIN Aijun, DU Weiqiang, YUAN Qunfang, LI Zhiwei, PENG Wei
- 305 Expression of Bcl-2 in the cochlea in age-related hearing loss mouse model**  
HUANG QiuHong, HUANG Zizhen, YE Yongyi, ZHENG Yiqing
- 309 Age-related clinical characteristics and differences of refractory nasal bleeding site**  
FAN Sen, FU Yong
- 312 Expression of SerpinB2 and SerpinB4 genes in nasal brushings in allergic rhinitis**  
WANG Min, SHE Wenyu, YANG Jun, WANG Xiangdong, ZHANG Xu, ZHANG Luo
- 316 Modified CT olfactory cleft scores are predictive factors of olfactory function after surgery in chronic rhinosinusitis with nasal polyps**  
WANG Mingjie, ZHOU Bing, CUI Shunjiu, LI Yunchuan, SUN Yan
- 320 Experimental research of the olfactory receptor neurons of olfactory dysfunction by allergic rhinitis**  
SHAO Lili, SUN Baobin, TAO Feng, ZANG Fengchao, CAI Wenjun